

مطالعه و بهینه‌سازی اثرات برخی از عوامل مؤثر بر فرایند استخراج آب آلبالو به روش فیلتر پرس

علی حاجی احمد^{۱*}، امیرحسین میرزابه^۲

- ۱- استادیار گروه مهندسی ماشین‌های کشاورزی، پردیس کشاورزی و منابع طبیعی، دانشگاه تهران
۲- دانشجوی دکتری مهندسی مکانیک بیوسیستم، پردیس کشاورزی و منابع طبیعی، دانشگاه تهران

* نویسنده مسئول: hajiahmad@ut.ac.ir

چکیده

ایران با سطح زیر کشت آلبالو ۲۱۱۸۱ هکتار و تولید ۹/۶۶٪ از کل تولید جهانی پنجمین تولیدکننده آلبالو در جهان است. مصرف تازه خوری آلبالو به علت فسادپذیری زیاد، محدود بوده و تولید فراورده‌های بر پایه آلبالو یک روش مهم در کاهش ضایعات این محصول است. اولین گام جهت تولید نوشیدنی‌های بر پایه آلبالو، استحصال آب آلبالو است. با توجه به اهمیت طراحی ماشین‌های آبمیوه گیری کارا و عملکرد رضایت‌بخش روش فیلتر پرس در آبگیری میوه‌ها، این مطالعه به منظور بررسی و بهینه‌سازی اثرات ارتفاع لایه محصول، قطر سیلندر و بیشینه تنش فشاری وارد بر توده محصول بر درصد آبمیوه استخراج شده از آلبالو، جابجاگی بیشینه پیستون، چگالی توده و چگالی واقعی تفاله باقیمانده، رطوبت نسبی و تخلخل نهایی تفاله و مقدار انرژی ویژه مصرف شده انجام شده است. نتایج بدست آمده نشان داد که اثرات هر سه متغیر ورودی مستقل در سطح احتمال ۱٪ بر کلیه متغیرهای وابسته معنی دار شدند. کاهش ارتفاع لایه، افزایش قطر سیلندر و افزایش تنش بیشینه منجر به افزایش درصد آب استحصالی می‌گردد، که در این بین افزایش تنش بیشینه بیشترین تأثیر را دارد. معیارهای افزایش درصد آب میوه استحصالی، کاهش انرژی ویژه و افزایش ارتفاع لایه به ترتیب اولویت در بهینه‌سازی فرایند آبگیری اعمال شدند. نتایج حاصل از بهینه‌سازی نشان داد که انتخاب ارتفاع ۴۲ میلی‌متری لایه‌ها، قطر ۵۵ میلی‌متری سیلندر و اعمال نیروی ۵۰۰ کیلوگرمی منجر به استحصال ۷۶/۱۲٪ آب میوه با درجه مطلوبیت ۸۳/۵۰٪ گردید.

کلمات کلیدی:

قطر سیلندر، تنش فشاری، آبمیوه، چگالی، تخلخل، تفاله، بهینه‌سازی

مطالعه و بهینه‌سازی اثرات برخی از عوامل مؤثر بر فرایند استخراج آب آلبالو به روش فیلتر پرس

فهرست نمادها

نماد	واحد	نماد	واحد	تعريف
<i>A</i>	mm	H_{max}	mm	ارتفاع لایه توده محصول در آزمایش ها
<i>B</i>	mm	H_{min}	mm	ارتفاع کمینه لایه توده محصول در آزمایش ها
<i>C</i>	mm	H_p	mm	ارتفاع لایه توده محصول در نقطه مورد نظر
<i>D</i>	%	M	g	درجه مطلوبیت (رضایت‌بخشی) جرم آب استحصال شده در فرایند آبگیری
<i>E</i>	kJ/kg	M_{max}	g	انرژی ویژه وارد به محصول در نقطه مورد نظر جرم آب بیشینه استحصال شده در آزمایش ها
<i>E_{abs}</i>	J	M_{min}	g	انرژی اعمال شده توسط پیستون به توده محصول جرم آب کمینه استحصال شده در آزمایش ها
<i>E_{max}</i>	kJ/kg	M_p	g	انرژی ویژه بیشینه در آزمایش ها انرژی ویژه وارد به محصول در آزمایش ها
<i>E_{min}</i>	kJ/kg	W_E	-	وزن متناظر با انرژی ویژه در بهینه سازی
<i>E_p</i>	kJ/kg	W_H	-	وزن متناظر با ارتفاع لایه در بهینه سازی
<i>E_{Sp}</i>	kJ/kg	W_M	-	وزن متناظر با جرم آب استحصالی در بهینه سازی
<i>F</i>	N	ρ_b	kg/m^3	نیروی بیشینه وارد بر توده محصول چگالی توده تفاله
<i>H</i>	mm	ρ_t	kg/m^3	ارتفاع لایه توده محصول چگالی واقعی تفاله

مقدمه

آلبالو (*Prunus cerasus* L.) متعلق به خانواده Rosaceae، زیر خانواده پرونوئیده، یکی از مهم‌ترین میوه‌های هسته‌دار مناطق معتدل‌له می‌باشد. آلبالو به طور عمده در لهستان، روسیه، صربستان، مجارستان، ایران، اتریش، آذربایجان، آلمان و ترکیه تولید می‌شود (FAO, 2019). بر مبنای گزارش‌های سالانه سازمان خواربار و کشاورزی (فائز)، در سال ۲۰۱۷ میلادی تولید سالانه آلبالو در جهان برابر با ۱/۲ میلیون تن و در ایران برابر با ۱۱۶ هزار تن بوده است (FAO, 2019). سطح زیر کشت آلبالو برابر با ۲۱۱۸۱ هکتار بوده و ایران ۹/۶۶٪ کل تولید جهانی را به خود اختصاص داده و پنجمین تولیدکننده آلبالو در جهان است [۱].

آلبالو یکی از میوه‌های بومی ایران است که به فرم‌های بیخ‌زده، کنسرو شده، آب‌میوه، سور و خشک مصرف می‌شود [۲]. مصرف تازه خوری آلبالو به علت فساد‌پذیری زیاد، محدود بوده و سهم کمی از مصرف را شامل می‌شود. میوه آلبالو سرشار از انواع آتوسیانین‌ها به ویژه سیانیدین ۳-گلیکوزید است [۳]. آتوسیانین‌ها، ترکیبات پلی فنول و بزرگ‌ترین گروه از رنگدانه‌های گیاهی محلول در آب هستند. این ترکیبات فلاونوئیدهایی با خاصیت آنتی‌اکسیدان هستند که برای بسیاری از سیستم‌های بدن نقش محافظتی دارند و به پیشگیری از بیماری‌های قلبی نیز کمک می‌نمایند [۴]. مطالعات در مدل‌های حیوانی و انسانی نشان می‌دهد که مصرف پلی فنول‌ها باعث کاهش غلظت کلسترول HDL می‌شوند [۵-۶]. اثرات مصرف فلاونوئیدهای همچنین آتوسیانین‌های خاص ایزوله شده از منابع گیاهی آن‌ها بر بیماری‌های قلبی - عروقی در مطالعاتی چند به اثبات رسیده است [۷-۹]. همچنین آلبالو در

طب سنتی برای درمان التهاب کلیه، ناراحتی‌های کبد، معده، روده و نیز بیماری‌های تب دار مصرف می‌شود [13]. از ترکیب‌هایی که در این گیاه شناسایی شده است می‌توان به فلاونوئیدها، رامتنین، مالویدین، دلفینیدین، پینوسمبرین، نارینجنین، کوئرسین، رزوراترول، دی‌هیدروکوئرسین، پئونیدین، اپیزین، پرو و آتوسیانیدین، گلوکز (فرولوبل دی - گلوکز، کومارویل - گلوکز)، استیبنز، کاتکین‌ها، گالوکاکین و سایر آنتی‌اکسیدان‌ها (نظیر گالوتانین) اشاره نمود [13].

آبمیوه به عنوان یک غذای سالم در حال حاضر توسط درصد زیادی از جمعیت جهان در حال مصرف می‌باشد. آبمیوه‌ها جزء اساسی و مهم رژیم غذایی به شمار می‌روند. طبق تعریف، آبمیوه‌ها مایع استخراج شده از میوه‌ها هستند که مورد تخمیر قرار نگرفته‌اند و شامل فرآوری‌های اصلی مانند پیش‌تیمار، استخراج عصاره‌ها و تیمارهای پس از پرس می‌باشند معمولاً آبمیوه‌ها به صورت کنسانتره درآمده تا هزینه حمل و نقل محصول کاهش یابد [14]. کنسانتره آسان‌تر از خود میوه‌ها برای فرآوری هستند چراکه آب کمتری به آن‌ها اضافه شده و نیز آن‌ها انعطاف‌پذیری بیشتری برای فرمولاسیون دارند [15].

اولین گام جهت تولید فرآورده‌هایی نظیر مربا، مارمالاد، آبمیوه، نوشابه، پاستیل، سس و ژله از آبالو، استحصال آب آبالو است. لذا استفاده از دستگاه‌های مکانیزه منطبق بر اصول و موازین بهداشتی جهت آبگیری میوه می‌تواند گامی در راستای ایجاد امکان فروش این فرآورده‌ها در بازار جهانی باشد. در حال حاضر دستگاه مخصوص آبگیری آبالو وجود ندارد و دستگاه‌های موجود که برای آبگیری آبالو مورد استفاده قرار می‌گیرند دستگاه‌هایی چندمنظوره هستند. اغلب دستگاه‌های چندمنظوره نه تنها عملکرد بهینه را برای آبگیری آبالو ارائه نمی‌دهند بلکه این دستگاه‌ها معمولاً منطبق بر اصول بهداشتی هم نیستند [16].

تاکنون بسیاری از محققان در زمینه طراحی و بهینه‌سازی دستگاه‌های آبمیوه‌گیری برای میوه‌ها و محصولات کشاورزی مختلف کار کرده‌اند. چندین دستگاه دستی، دستگاه موتوری و نوماتیکی برای استخراج آب مرکبات تولید و طراحی، ساخته و ارزیابی شده است [17-21]. همچنین، روش‌های مختلفی برای آبگیری میوه مورد مطالعه قرار گرفته‌اند. دستگاه‌های پرس غلتکی برای آلوئه ورا [22]، دستگاه مارپیچ دوار برای انگور [23] و پرس هیدرولیک برای سیب [24] و انار طراحی [25]، ساخته و ارزیابی شده‌اند. استفاده از روش فیلتر پرس برای آبگیری محصولات مختلف گزارش شده و در همه موارد، نتایج کاملاً رضایت‌بخش بوده است [26-31].

با توجه به کارایی روش فیلتر پرس در آبگیری میوه‌ها و فقدان دستگاه مخصوص آبگیری آبالو، این مطالعه به منظور بررسی و بهینه‌سازی برخی از عوامل تأثیرگذار در روش فیلتر پرس بر میزان آب استخراج شده از آبالو انجام شده است. ارتقای لایه محصول، قطر سیلندر و بیشینه تنش فشاری وارد بر توده محصول به عنوان متغیرهای مستقل در نظر گرفته شدند. آزمایش‌ها در قالب طرح فاكتوریل کاملاً تصادفی انجام شد. تغییرات درصد آبمیوه استخراج شده، جابجایی پیستون، چگالی توده و چگالی واقعی تفاله باقیمانده، رطوبت نسبی و تخلخل نهایی تفاله و مقدار انرژی ویژه مصرف شده به عنوان متغیرهای وابسته در نظر گرفته شدند. در نهایت با توجه به درصد آب استخراج شده و بهره‌وری انرژی، متغیرهای مستقل توسط نرم‌افزار، بهینه‌سازی شده و با آزمون عملی مورد صحبت سنجدی قرار گرفتند.

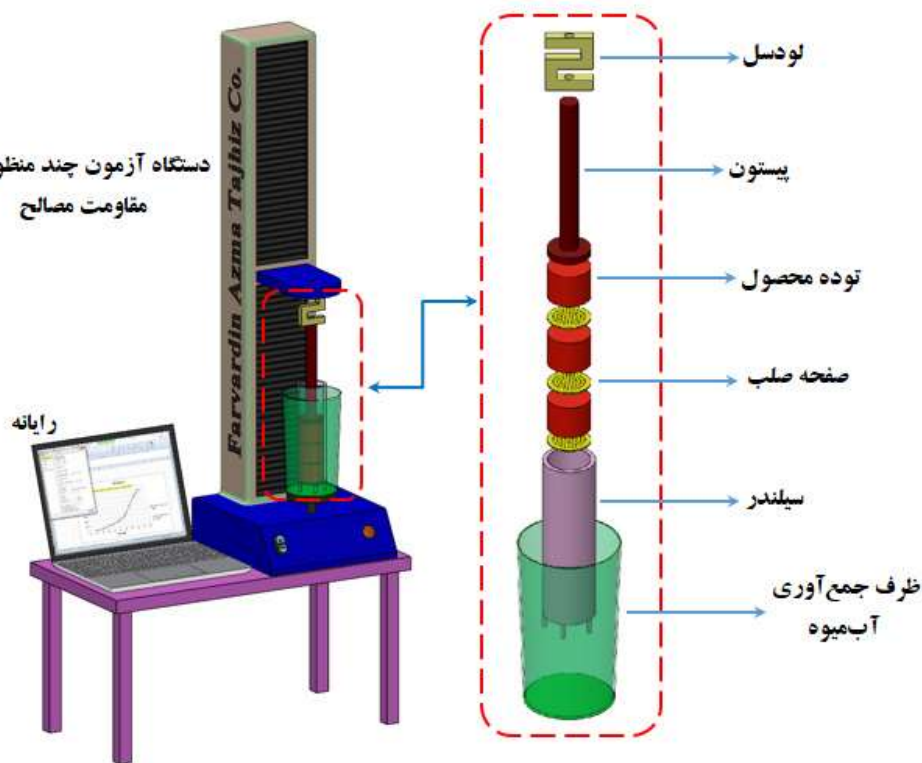
مواد و روش‌ها

پژوهش حاضر با هدف تعیین اثرات برخی از عوامل مؤثر بر سیستمیک استخراج آب آبالو رقم سیگانی انجام شده است. به منظور انجام آزمایش‌ها ابتدا میوه‌ها به صورت دستی از درخت‌های مختلف از یک باغ محلی در شهرستان

شهریار، در هفتم خردادماه ۱۴۰۰ چیده شدند. مقدار مورد نیاز میوه (حدود ۲۲ کیلوگرم) از درخت‌ها چیده شده و به آزمایشگاه منتقل شد. میوه‌ها تا زمان آزمایش در یخچال با دمای ۴ درجه سلسیوس قرار داده شدند. قبل از انجام هر آزمایش ابتدا میوه‌ها به روش دستی هسته‌گیری شدند. میزان رطوبت میوه‌های هسته‌گیری شده بر اساس روش استاندارد آون هوای گرم در دمای ۱۰۵ درجه سلسیوس به مدت ۲۴ ساعت اندازه‌گیری شد [32]. همچنین مقادیر چگالی توده و چگالی واقعی میوه‌های هسته‌گیری شده قبل از شروع فرایند آبگیری، بر مبنای روش‌های ظرف استوانه‌ای با ابعاد استاندارد و پیکنومتر اندازه‌گیری شدند [32]. با معلوم بودن چگالی توده و واقعی، تخلخل اولیه میوه‌های هسته‌گیری شده محاسبه شد. کلیه آزمایش‌ها در سه روز متوالی (هشتم، نهم و دهم خردادماه ۱۴۰۰) با سه تکرار انجام شد.

از دستگاه آزمون چندمنظوره مقاومت مصالح (Hi-500-SE، فروردین آزما تجهیز، ایران) برای ایجاد تنفس لازم برای آبگیری آبالو استفاده شد. از سه سیلندر با ارتفاع ۲۵۰ میلی‌متر ساخته شده از فولاد ضدزنگ با قطر داخلی ۴۵ و ۵۵ میلی‌متر استفاده شده است. سوراخ‌هایی به قطر ۲ میلی‌متر و فواصل ۶ میلی‌متر در درپوش پایینی سیلندر توسط ماشین لیزر CNC ایجاد شده تا امکان تخلیه آب میوه فراهم شود. فشار ایجاد شده توسط دستگاه آزمون چندمنظوره مقاومت مصالح با استفاده از پیستون‌هایی به قطر ۴۵ و ۵۰ میلی‌متر (هر پیستون برای یک سیلندر با قطر مناسب استفاده شد) به میوه‌ها وارد شد. اطلاعات نیرو و جابجایی به طور هم‌زمان توسط لوడسل ۵۰۰ کیلوگرمی (نوع S، زمیک، چین) متصل به انتهای بالای پیستون و فک بالایی (فک متحرک) دستگاه آزمون چندمنظوره ثبت شد.

در روش‌های سُتّی، یکی از عملیاتی که برای افزایش مقدار آب استخراج شده از بافت میوه‌ها انجام می‌شود، قرار دادن لایه‌های صلب بین توده میوه است. بنابراین، در این مطالعه برای هریک از سیلندرها از دو صفحه فولادی سوراخ‌دار با ضخامت دو میلی‌متر استفاده شد. قطر صفحات فولادی برابر با قطر داخلی سیلندرها بود. قطر سوراخ‌ها و شبکه‌بندی آن‌ها مشابه کف سیلندر بود. طرح واره سامانه مورد استفاده برای انجام آزمایش‌ها در شکل ۱ نشان داده شده است.



شکل ۱- طرح واره سامانه استخراج آب آلبالو به روش فیلتر پرس

سه متغیر ارتفاع لایه محصول، قطر سیلندر و تنش بیشینه وارد بر محصول به عنوان متغیرهای مستقل در نظر گرفته شدند. در هر آزمون با قرار دادن دو صفحه فولادی مذکور در بین توده میوه‌های هسته‌گیری شده سه لایه ایجاد شد. ارتفاع لایه‌ها در سه سطح ۴۰، ۲۰ و ۶۰ میلی‌متر در نظر گرفته شدند. همان‌گونه که قبلاً اشاره شد قطر سیلندر در سه سطح ۴۵، ۵۰ و ۵۵ میلی‌متر مورد آزمون قرار گرفت. با توجه به متفاوت بودن قطر سیلندرها، به منظور بررسی اثر تنش بیشینه وارد بر توده میوه‌ها، نیروی بیشینه وارد در هر سیلندر دارای سه سطح بود. در سیلندر با قطر داخلی ۴۵ میلی‌متر سطوح نیروی بیشینه شامل ۳۰۱/۲۴، ۲۶۷/۷۷ و ۳۳۴/۲۱ کیلوگرم بودند که تنش‌های متناظر ۱۶۵۱/۶۳ و ۱۸۵۸/۰۹ و ۲۰۶۴/۵۴ کیلو پاسکال را به ترتیب ایجاد می‌کردند. در سیلندر با قطر داخلی ۵۰ میلی‌متر سطوح نیروی بیشینه شامل ۳۳۰/۵۸، ۳۷۱/۹۰ و ۴۱۳/۲۲ کیلوگرم بودند. در سیلندر با قطر داخلی ۵۵ میلی‌متر سطوح نیروی بیشینه شامل ۴۰۰، ۴۵۰ و ۵۰۰ کیلوگرم بودند. لازم به ذکر است که در سیلندرهای با قطر داخلی ۵۰ و ۵۵ میلی‌متر نیز تنش بیشینه ۱۶۵۱/۶۳، ۱۸۵۸/۰۹ و ۲۰۶۴/۵۴ کیلو پاسکال ایجاد می‌شد.

با توجه به معلوم بودن قطر داخلی سیلندرها و نیز چگالی توده میوه، جهت ایجاد لایه‌هایی با ارتفاع معلوم، جرم مورد نیاز از میوه اندازه‌گیری و به هر لایه اختصاص داده شد. پس از روشن کردن دستگاه آزمون چندمنظوره، داده‌های نیرو و تغییر شکل مربوطه در طول زمان آزمون با نرخ ۱۰ هرتز ثبت شدند. با انجام آزمایش‌های اولیه، بهترین سرعت بارگذاری مقدار ثابت ۱۰ میلی‌متر بر دقیقه در نظر گرفته شد. تمام آزمایش‌ها تا رسیدن به نیروی موردنظر ادامه یافت. پس از اتمام مدت زمان هر آزمون، مقدار آبمیوه استخراج شده توزین شد. با مشخص بودن

جرم اولیه میوه هسته‌گیری شده، درصد جرمی آبمیوه استحصالی محاسبه شد. پس از انجام هر آزمون، تفاله باقیمانده در سیلندر جمع‌آوری و وزن آن اندازه‌گیری شد. با معلوم بودن مقدار جابجایی پیستون و ارتفاع اولیه لایه‌ها حجم نهایی تفاله محاسبه شد. لذا با معلوم بودن جرم و حجم تفاله، مقدار چگالی توده تفاله مورد محاسبه قرار گرفت. همچنین تفله‌ناشی از هریک از آزمایش‌ها در آون قرار داده شده و درصد رطوبت آن بر مبنای وزن تر مورد محاسبه قرار گرفت. پس از خشک شدن نمونه‌های تفاله، جرم ماده خشک اندازه‌گیری و چگالی واقعی ماده خشک به روش پیکنومتر محاسبه گردید. با معلوم بودن جرم ماده خشک، چگالی ماده خشک، جرم و حجم آب موجود در تفاله، چگالی واقعی تفاله محاسبه شد. در نهایت با معلوم بودن چگالی توده و چگالی واقعی تفاله، مقدار تخلخل نهایی تفاله محاسبه گردید. همچنین سطح زیر نمودار نیرو-جابجایی به عنوان انرژی مصرف شده یا انرژی جذب شده توسط میوه در نظر گرفته شد. با توجه به مقدار انرژی و آبمیوه استحصال شده، انرژی ویژه طبق رابطه ۱ مورد محاسبه قرار گرفت [۱۶].

$$E_{Sp} = \frac{E_{abs}}{M} \quad (1)$$

با در نظر گرفتن متغیرهای مستقل ورودی و نیز در نظر گرفتن درصد آب استحصالی، جابجایی، چگالی توده تفاله، چگالی واقعی تفاله، تخلخل نهایی تفاله، رطوبت نهایی تفاله و انرژی ویژه مصرف شده در طول فرایند به عنوان متغیرهای وابسته، توسط نرم افزار Design Expert 11 آزمایش‌ها در سه تکرار انجام و نتایج حاصل از میانگین گیری سه تکرار مذکور مورد تجزیه واریانس قرار گرفت. جهت بهینه‌سازی فرایند استخراج آب آبلالو، سه فاکتور ارتفاع لایه‌ها، انرژی ویژه و درصد آبمیوه به عنوان عوامل مؤثر در بهینه‌سازی در نظر گرفته شدند و بهینه‌سازی بر مبنای پیشنهادی شدن درصد آب استحصالی، پیشنهادی شدن ارتفاع لایه و کمینه شدن انرژی ویژه صورت گرفت. پنج نقطه با متغیرهای ورودی متفاوت از نقاط بهینه پیشنهادی توسط نرم افزار انتخاب گردیدند. آزمایش‌ها با دو تکرار برای پنج نقطه پیشنهادی نرم افزار انجام و پیش‌بینی نرم افزار مورد صحت سنجی قرار گرفتند. برای محاسبه درجه مطلوبیت^۱ هریک از نقاط بهینه پیشنهادی از رابطه ۲ استفاده گردید [۱۶].

$$D = 100 \left[\left(\frac{H_p - H_{min}}{H_{max} - H_{min}} \right)^{W_H} \left(\frac{M_p - M_{min}}{M_{max} - M_{min}} \right)^{W_M} \left(\frac{E_{max} - E_p}{E_{max} - E_{min}} \right)^{W_E} \right]^{\left(\frac{1}{\sum W} \right)} \quad (2)$$

نتایج و بحث

نتایج حاصل از میانگین گیری سه تکرار هریک از آزمایش‌های ۲۷ گلنۀ طرح فاکتوریل در مورد درصد آب استحصال شده مورد تجزیه واریانس قرار گرفت. درصد آب استحصال شده به صورت نسبت جرم آبمیوه به جرم اولیه میوه هسته‌گیری شده تعریف شد. مدل‌سازی درصد آب استخراج شده از میوه توسط یک مدل با اثرات متقابل دو عاملی^۲ صورت گرفت که نتایج حاصل از تجزیه واریانس در جدول ۱ نشان داده شده است. همان‌گونه که در

¹ Desirability

² Two Factor Interaction (2FI)

جدول ۱ مشاهده می‌شود، مدل مذکور در سطح احتمال ۱٪ معنی‌دار بوده و دارای ضریب تبیین ۹۶۹۸٪ و ضریب تغییرات ۷/۶۳۳۰٪ است. لذا می‌توان گفت مدل توانایی بالایی در برآش داده‌ها داشته است.

جدول ۱- نتایج تجزیه واریانس درصد آب میوه استحصال شده

P	مقدار	F	مقدار	میانگین مربعات خطأ	درجه آزادی	منابع تغییر
<۰/۰۱ **		۱۰۷/۰۴		۱۵۸۵/۴۶	۶	مدل
<۰/۰۱ **		۹۶/۳۶۷		۱۴۲۷/۲۸	۱	ارتفاع لایه (A)
<۰/۰۱ **		۲۱/۱۹۸		۳۱۳/۹۶	۱	قطر سیلندر (B)
<۰/۰۱ **		۵۱۶/۹۹۴		۷۶۵۷/۰۹	۱	تنش بیشینه (C)
۰/۰۸۲۶		۰/۳۱۱۹		۴/۶۲۴	۱	AB
۰/۰۲۹۴ *		۵/۴۹۸۴		۸۱/۴۳۶۹	۱	AC
۰/۱۸۱۴		۱/۹۱۶۶		۲۸/۳۸۷۱	۱	BC
				۱۴/۸۱۰۷	۲۰	باقیمانده
					۲۶	مجموع
				۳/۸۴۸۴		انحراف معيار
				۷/۶۳۳۰		ضریب تغییرات %
				۰/۹۶۹۸		ضریب تبیین

*: معنی‌داری در سطح احتمال ۵٪

**: معنی‌داری در سطح احتمال ۱٪

نتایج حاصل از تجزیه واریانس جابجایی پیستون در جدول ۲ گزارش شده است. مدل سازی مقدار جابجایی پیستون تا رسیدن به تنش بیشینه نیز توسط یک مدل با اثرات متقابل دو عاملی صورت گرفت. همان‌گونه که مشاهده می‌شود، مدل مورد استفاده در سطح احتمال ۱٪ معنی‌دار بوده و ضریب تبیین ۹۸۴۶٪ و ضریب تغییرات ۵/۵۴۰۳٪ گویای توانایی بالای مدل در برآش داده‌ها است.

جدول ۲- نتایج تجزیه واریانس جابجایی پیستون تا رسیدن به تنش بیشینه

P	مقدار	F	مقدار	میانگین مربعات خطأ	درجه آزادی	منابع تغییر
<۰/۰۱ **		۲۱۳/۱۵		۴۳۹۰/۲۶	۶	مدل
<۰/۰۱ **		۱۰۰۵/۶۵		۲۱۷۴۲/۹۷	۱	ارتفاع لایه (A)
<۰/۰۱ **		۷/۹۸۲۲		۱۶۴/۴۰	۱	قطر سیلندر (B)
<۰/۰۱ **		۱۹۵/۶۱۶		۴۰۴۹/۰۲	۱	تنش بیشینه (C)
۰/۴۳۹۵		۰/۶۲۲۱		۱۲/۸۱۳۳	۱	AB
<۰/۰۱ **		۱۸/۰۹۸۲		۳۸۳/۰۷	۱	AC
۰/۰۱۱۸		۰/۴۴۶۰		۹/۱۸۷۵	۱	BC
				۲۰/۵۹۶۵	۲۰	باقیمانده
					۲۶	مجموع
				۴/۵۳۸۳		انحراف معيار

ضریب تغییرات٪ ۵/۰۴۰۳

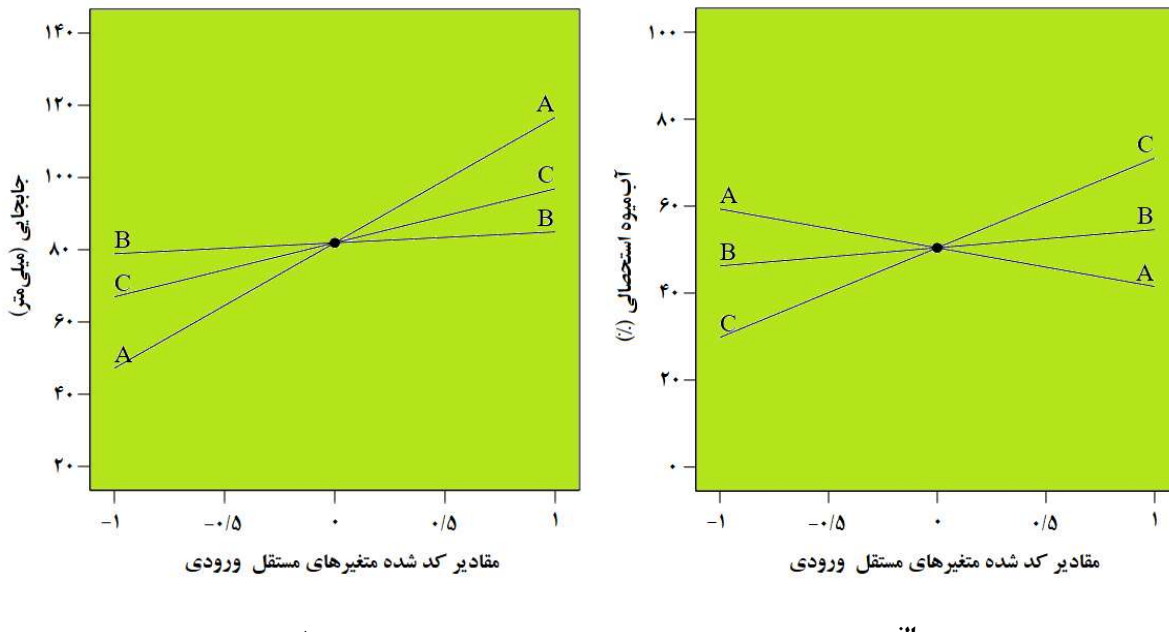
ضریب تبیین ۰/۹۸۴۶

**: معنی داری در سطح احتمال ۱٪

با توجه به اینکه سطوح متغیرها با هم متفاوت بودند، جهت معرفی این متغیرها به نرم افزار، سطوح مختلف متغیرها به صورت کد شده برای نرم افزار تعریف شدند. برای کد کردن متغیر ارتفاع لایه، پایین ترین سطح ارتفاع (۲۰ میلی‌متر) برابر با ۱- و بالاترین سطح ارتفاع (۶۰ میلی‌متر) برابر با ۱+ در نظر گرفته شدند. در این حالت میانگین ارتفاع بیشینه و کمینه (۴ میلی‌متر) برابر با صفر کد گذاری شد. برای متغیر قطر سیلندر، سه سطح ۰/۹، ۰/۵ و ۰/۱ میلی‌متر به ترتیب برابر با ۱-، ۰ و ۱+ کد گذاری شدند. برای متغیر تنفس بیشینه، سه سطح ۰/۶۳، ۰/۱۶۵۱ و ۰/۰۹۱۸۵۸ کیلو پاسکال به ترتیب با کدهای ۱-، ۰ و ۱+ در نظر گرفته شدند.

نمودار پراکندگی^۱ درصد آب استخراج شده و جابجایی بیشینه پیشتون در شکل ۲ نشان داده شده است. طبق جداول ۱ و ۲، اثرات هر سه متغیر مستقل ارتفاع لایه (A)، قطر سیلندر (B) و تنفس بیشینه (C) در سطح احتمال ۱٪ بر مقدار متغیرهای وابسته درصد آب استخراج شده و جابجایی بیشینه پیشتون معنی دار شدند. با توجه به اطلاعات مندرج در جداول ۱ و ۲، متغیرهای ارتفاع لایه و تنفس بیشینه دارای اثر متقابل در سطح احتمال ۰/۵٪ و ۰/۱٪ به ترتیب بر روی درصد آب استخراج شده و جابجایی بیشینه پیشتون است، در حالی که سایر اثرات متقابل معنی دار نشدند. با توجه به شکل ۲-الف، کاهش ارتفاع لایه، افزایش قطر سیلندر و افزایش تنفس بیشینه منجر به افزایش درصد آب استحصالی از میوه آلبالو می‌شوند. واضح است که به دلیل پیشر بودن شبکه خط تنفس بیشینه در نمودار پراکندگی نسبت به شبکه خطوط دو متغیر دیگر، درصد آب میوه استحصالی وابستگی بیشتری به تغییرات تنفس بیشینه دارد. بررسی اثر متقابل ارتفاع لایه و تنفس بیشینه نشان داد که در تنفس‌های بیشینه بزرگ‌تر، افزایش ارتفاع لایه منجر به کاهش قابل ملاحظه درصد آب میوه استخراجی می‌گردد؛ این در حالی است که در تنفس‌های بیشینه کوچک‌تر، افزایش ارتفاع لایه تأثیری چندانی بر مقدار درصد آب میوه استخراج شده ندارد. نتایج بدست آمده در مورد اثر متغیرهای مستقل مورد بررسی بر روی درصد آب استخراج شده با یافته‌های سایر محققان انطباق دارد [24,33,34].

^۱ Perturbation



شکل ۲- نمودار پراکندگی نسبت به تغییرات متغیرهای ورودی (الف) درصد آبمیوه استحصالی (ب) جابجایی بیشینه پیستون

با توجه به شکل ۲-ب، افزایش مقادیر ارتفاع لایه، قطر سیلندر و تنش بیشینه منجر به افزایش جابجایی بیشینه پیستون می‌شوند. واضح است که به دلیل بیشتر بودن شیب خط ارتفاع لایه در نمودار پراکندگی نسبت به شیب خطوط دو متغیر دیگر، جابجایی بیشینه پیستون وابستگی بیشتری به تغییرات ارتفاع لایه دارد. بررسی اثر مقابل ارتفاع لایه و تنش بیشینه نشان داد که در لایه‌های با ضخامت بیشتر، افزایش تنش بیشینه منجر به افزایش قابل ملاحظه جابجایی بیشینه پیستون می‌گردد؛ حال آنکه در لایه‌های با ضخامت کمتر، افزایش تنش بیشینه مقدار محدودتری از اثر گذاری در افزایش مقدار جابجایی بیشینه پیستون را از خود نشان می‌دهد.

نتایج حاصل از تجزیه واریانس چگالی توده و چگالی واقعی نهایی تفاله در جدول ۳ گزارش شده است. مدل سازی مقدار چگالی توده و چگالی واقعی نهایی تفاله توسط دو مدل با اثرات مقابل دو عاملی صورت گرفت. همان‌گونه که مشاهده می‌شود، مدل‌های مورد استفاده در پیش‌بینی مقدار چگالی توده و چگالی واقعی نهایی تفاله در سطح احتمال ۱٪ معنی دار بوده و به ترتیب ضرایب تبیین ۹۴۵۲/۰ و ۹۵۳۹/۰ همراه با ضرایب تغییرات ۱۲۳۳/۴ و ۷۴۰/۵٪ گویای توانایی بالای مدل‌های مذکور در برآش داده‌ها است.

جدول ۳- نتایج تجزیه واریانس چگالی توده و چگالی واقعی نهایی تفاله

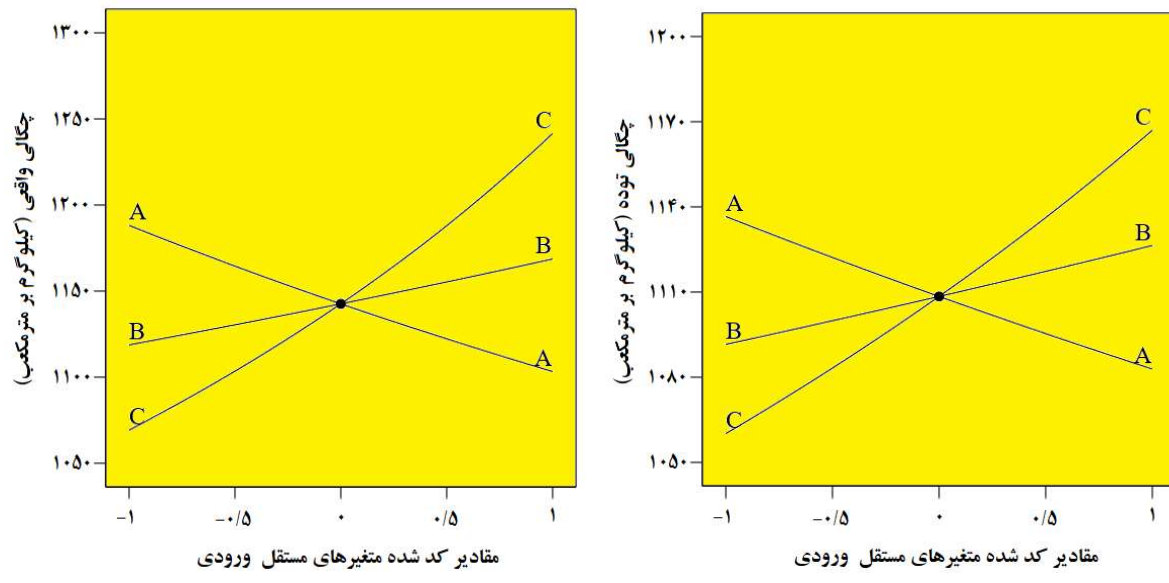
چگالی واقعی (kg/m^3)		چگالی توده (kg/m^3)		درجہ آزادی	منابع تغییر
مقدار P	مقدار F	میانگین مربعات خطای مربعات خطای	مقدار P	مقدار F	

مدل	ارتفاع لایه (A)	قطر سیلندر (B)	تنش بیشینه (C)	AB	AC	BC	باقیمانده	مجموع
E-۲۰ ۵/۲۸۹	۶							
E-۲۰ ۵/۰۹۳	۱							
E-۲۰ ۲/۱۴۳	۱							
E-۱۹ ۱/۹۸۱	۱							
E-۲۱ ۴/۹۰۵	۱							
E-۲۰ ۲/۸۱۰	۱							
E-۲۰ ۱/۳۸۳	۱							
E-۲۲ ۹/۱۸۷	۲۰							
۳/۸۱۱ E-۱۱		۳/۰۳۱ E-۱۱		۰/۹۴۵۲		۰/۹۵۳۹		۵/۶۷۴۰
۰/۹۵۳۹								
۰/۹۴۵۲								
۴/۱۲۳۳								
%								
ضریب تغییرات								
انحراف معیار								

*: معنی داری در سطح احتمال ۵%

**: معنی داری در سطح احتمال ۱%

نمودار پراکندگی چگالی توده و چگالی واقعی نهایی تفاله در شکل ۳ نشان داده شده است. طبق جدول ۳، اثرات هر سه متغیر مستقل ارتفاع لایه، قطر سیلندر و تنش بیشینه در سطح احتمال ۱٪ بر مقدار چگالی توده و چگالی واقعی نهایی تفاله معنی دار شدند. با توجه به اطلاعات مندرج در جدول ۳، کلیه اثرات متقابل متغیرهای ورودی بر روی چگالی توده و واقعی نهایی تفاله معنی دار شدند. با توجه به شکل ۳، کاهش ارتفاع لایه، افزایش قطر سیلندر و افزایش تنش بیشینه منجر به افزایش چگالی توده و چگالی واقعی نهایی تفاله می شوند. واضح است که به دلیل بیشتر بودن شبی خطر تنش بیشینه در نمودار پراکندگی نسبت به شبی خطوط دو متغیر دیگر، مقادیر چگالی توده و چگالی واقعی نهایی تفاله وابستگی بیشتری به تغییرات تنش بیشینه دارند. بررسی اثر متقابل ارتفاع لایه و قطر سیلندر نشان داد که با افزایش قطر سیلندر در لایه های با ارتفاع کمتر، افزایش محسوس تر چگالی توده و چگالی واقعی نهایی تفاله نسبت به لایه های با ارتفاع کمتر مشاهده می گردد. همچنین، بررسی اثر متقابل ارتفاع لایه و تنش بیشینه نشان داد که در تنش های بیشینه بزرگ تر، افزایش ارتفاع لایه منجر به کاهش قابل ملاحظه چگالی توده و چگالی واقعی نهایی تفاله می گردد؛ این در حالی است که در تنش های بیشینه کوچک تر، افزایش ارتفاع لایه تأثیر چندانی بر چگالی توده و چگالی واقعی نهایی تفاله ندارد. ضمناً افزایش قطر سیلندر در تنش های بیشینه کمتر، موجب افزایش محدود تری از چگالی توده و چگالی واقعی نهایی تفاله نسبت به تنش های بیشینه بیشتر می شود.



شکل ۳- نمودار پراکندگی نسبت به تغییرات متغیرهای ورودی (الف) چگالی توده نهایی تفاله (ب) چگالی واقعی نهایی تفاله

نتایج حاصل از تجزیه واریانس تخلخل و رطوبت نهایی تفاله در جدول ۴ گزارش شده است. مدل سازی مقدار چگالی توده و چگالی واقعی نهایی تفاله با تفلله توسط دو مدل با اثرات متقابل دو عاملی صورت گرفت. همان‌گونه که مشاهده می‌شود، مدل‌های مورد استفاده در پیش‌بینی مقدار چگالی توده و چگالی واقعی نهایی تفاله در سطح احتمال ۱٪ معنی‌دار بوده و به ترتیب ضرایب تبیین ۹۷۲۴/۰ و ۹۶۱۳/۰ همراه با ضرایب تغییرات ۷۵۱۳/۱ و ۶۶۸۴/۱ گویای توانایی بالای مدل‌های مذکور در برآشش داده‌ها است.

جدول ۴- نتایج تجزیه واریانس تخلخل و رطوبت نهایی تفاله

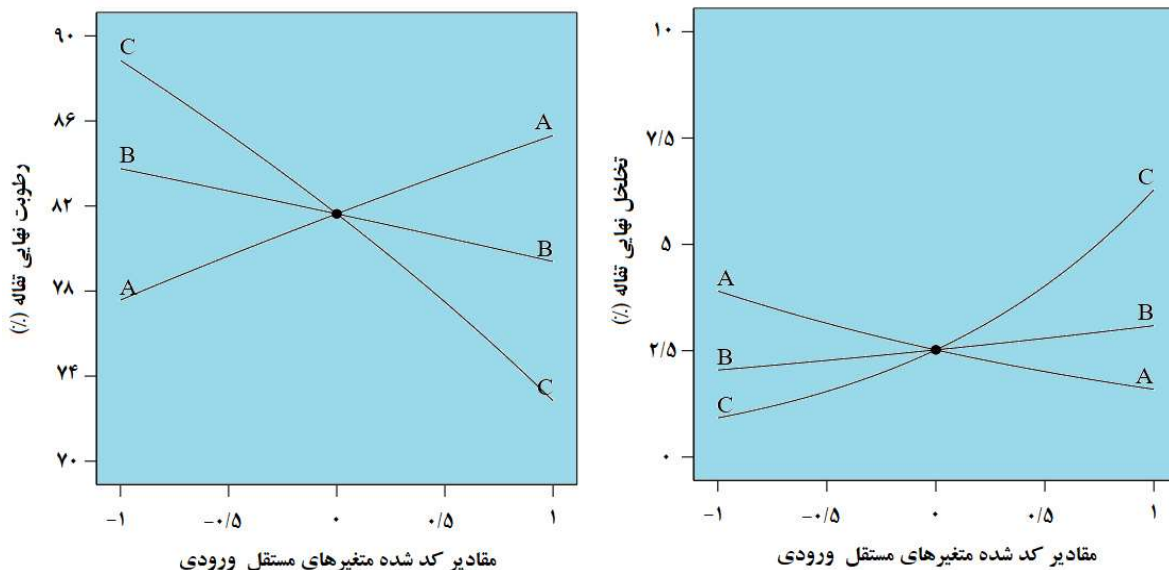
درطوبت نهایی (% بر مبنای وزن تر)			تخلخل نهایی (%)			منابع تغییر درجه آزادی
P	F	میانگین مربعات خطای مربعات خطای	P	F	میانگین مربعات خطای مربعات خطای	
<0/01 ***	۸۲/۹۸۹	۱/۰۹۵×10 ¹¹	<0/01 ***	۱۱۷/۷۷	۰/۰۴۲۳	۶ مدل
<0/01 ***	۸۰/۸۴۶	۱/۰۶۷×10 ¹¹	<0/01 ***	۱۱۸/۴۰	۰/۰۴۳۵	۱ ارتفاع لایه (A)
<0/01 ***	۲۵/۸۶۰۳	۳۴۱۳۱۶۳۷۴۸۸	<0/01 ***	۲۵/۰۵۶۷	۰/۰۰۹۲	۱ قطر سیلندر (B)
<0/01 ***	۳۳۷/۰۳۸	۴/۴۴۸×10 ¹¹	<0/01 ***	۵۶۱/۱۷۹	۰/۱۹۹۱	۱ تنش ییشینه (C)
۰/۰۶۳۷	۳/۸۵۲۲	۵۰۸۴۳۷۲۱۶۴	۰/۲۰۱۹	۱/۷۴۰۳	۰/۰۰۰۶	۱ AB
<0/01 ***	۳۶/۵۹۱۶	۴۸۲۹۵۳۰۸۷۷۱	<0/01 ***	۱۳/۸۹۴۶	۰/۰۰۰۱	۱ AC
<0/01 ***	۱۳/۷۴۲۴	۱۸۱۳۷۹۲۳۵۶	۰/۰۲۰۲ *	۶/۳۶۰۷	۰/۰۰۲۳	۱ BC
		۱۳۱۹۸۴۴۲۴۹			۰/۰۰۰۳	۲۰ باقیمانده

	مجموع
۳۶۳۲۹/۶۶	۰/۰۱۹۸
۶/۶۶۸۴	۱/۷۵۱۳
۰/۹۶۱۳	۰/۹۷۲۴

*: معنی داری در سطح احتمال ۵٪

**: معنی داری در سطح احتمال ۱٪

نمودار پراکندگی تخلخل و رطوبت نهایی تفاله در شکل ۴ نشان داده شده است. طبق جدول ۴، اثرات هر سه متغیر مستقل ارتفاع لایه، قطر سیلندر و تنش بیشینه در سطح احتمال ۱٪ بر مقدار تخلخل و رطوبت نهایی تفاله معنی دار شدند. با توجه به اطلاعات مندرج در جدول ۴، اثر متقابل متغیرهای ورودی ارتفاع لایه و قطر سیلندر بر روی تخلخل و رطوبت نهایی تفاله معنی دار نشد. با توجه به شکل ۴، کاهش ارتفاع لایه، افزایش قطر سیلندر و افزایش تنش بیشینه منجر به افزایش تخلخل و کاهش رطوبت نهایی تفاله می شوند. بدینهی است که به دلیل بیشتر بودن شب خط تنش بیشینه در نمودار پراکندگی نسبت به شب خطوط دو متغیر دیگر، مقادیر تخلخل و رطوبت نهایی تفاله وابستگی بیشتری به تغییرات تنش بیشینه دارد. بررسی اثر متقابل ارتفاع لایه و تنش بیشینه وارد بر توده محصول نشان داد که با افزایش ضخامت لایه در تنش های بیشینه بزرگ تر، کاهش محسوس تخلخل و افزایش چشمگیر رطوبت نهایی تفاله می گردد، در حالی که اثر تغییرات ضخامت لایه در تنش های بیشینه کوچک تر در مقدار تخلخل و رطوبت نهایی تفاله قابل چشم پوشی است. همچنین، بررسی اثر متقابل قطر سیلندر و تنش بیشینه نشان داد که در تنش های بیشینه بزرگ تر، افزایش قطر سیلندر منجر به کاهش قابل ملاحظه رطوبت نهایی تفاله و افزایش چشمگیر تخلخل نهایی تفاله می گردد؛ این در حالی است که در تنش های بیشینه کوچک تر، این افزایش تأثیر چندانی بر تغییرات دو کمیت مذکور ندارند. یافته های بدست آمده در مورد اثر متغیرهای مستقل مورد مطالعه بر روی تخلخل و رطوبت نهایی تفاله با نتایج سایر محققان انطباق دارد [26,28,31].



الف

ب

شکل ۴- نمودار پراکندگی نسبت به تغییرات متغیرهای ورودی (الف) تخلخل نهایی (فاله ب) رطوبت نهایی (فاله)

نتایج حاصل از تجزیه واریانس انرژی ویژه در جدول ۵ گزارش شده است. مدل سازی مقدار انرژی ویژه توسط مدلی با اثرات متقابل دو عاملی صورت گرفت. همان‌گونه که مشاهده می‌شود، مدل مورد استفاده در پیش‌بینی مقدار انرژی ویژه، در سطح احتمال ۱٪ معنی‌دار بوده و به ترتیب ضریب تبیین ۰/۸۶۷۷ و ضریب تغییرات ۱۴/۲۴۳۱٪ گویای توانایی بالای مدل‌های مذکور در برآشش داده‌ها است.

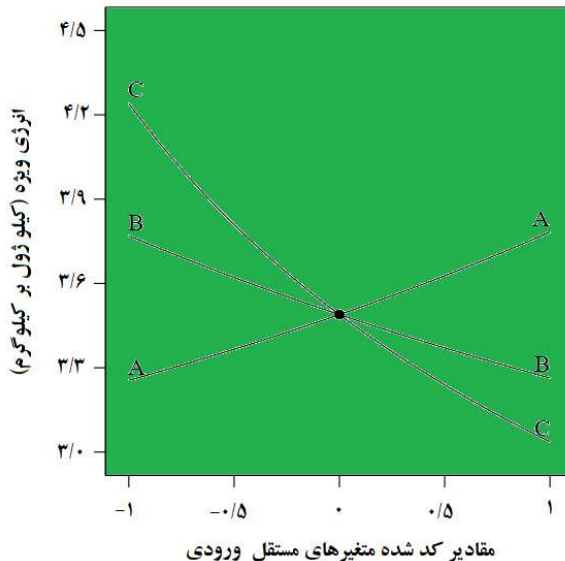
جدول ۵- نتایج تجزیه واریانس انرژی ویژه مصرفی (جذب شده توسط محصول)

منابع تغییر	درجه آزادی	میانگین مربوطات خطأ	مقدار F	مقدار P
مدل	۶	۰/۰۰۳۱	۲۱/۸۵۳۷	<۰/۰۱ **
ارتفاع لایه (A)	۱	۰/۰۰۲۶	۱۸/۶۰۴۶	<۰/۰۱ **
قطر سیلندر (B)	۱	۰/۰۰۲۴	۱۷/۱۵۳۹	<۰/۰۱ **
تش بیشینه (C)	۱	/۰۱۲۲	۸۶/۲۲۴۰	<۰/۰۱ **
AB	۱	۰/۰۰۰۴	۲/۵۱۹۳	۰/۱۲۸۱
AC	۱	۰/۰۰۰۲	۱/۶۷۳۷	۰/۲۱۰۵
BC	۱	۰/۰۰۰۷	۴/۹۴۶۲	۰/۰۳۸۲ *
باقیمانده	۲۰	۰/۰۰۰۱		
مجموع	۲۶			
انحراف معیار		۰/۰۱۱۹		
ضریب تغییرات %		۱۴/۲۴۳۱		
ضریب تبیین		۰/۸۶۷۷		

*: معنی‌داری در سطح احتمال ۵٪

**: معنی‌داری در سطح احتمال ۱٪

نمودار پراکندگی انرژی ویژه در شکل ۵ نشان داده شده است. طبق جدول ۵، اثرات هر سه متغیر مستقل ارتفاع لایه، قطر سیلندر و تش بیشینه در سطح احتمال ۱٪ بر مقدار انرژی ویژه معنی‌دار شدند. با توجه به شکل ۵، کاهش ارتفاع لایه، افزایش قطر سیلندر و افزایش تش بیشینه منجر به کاهش انرژی ویژه می‌شوند این نتایج در یافته‌های سایر پژوهشگران نیز به چشم می‌خورد [16,27]. بدیهی است که به دلیل بیشتر بودن شبیه خط تش بیشینه در نمودار پراکندگی نسبت به شبیه خطوط دو متغیر دیگر، مقدار انرژی ویژه وابستگی بیشتری به تغییرات تش بیشینه دارد. بررسی اثر متقابل قطر سیلندر و تش بیشینه وارد بر توده محصول نشان داد که افزایش قطر سیلندر در تش‌های بیشینه بزرگ‌تر، منجر به کاهش محسوس‌تر انرژی ویژه می‌گردد، در حالی که اثر تغییرات قطر سیلندر در تش‌های بیشینه کوچک‌تر در مقدار انرژی ویژه قابل اغماض است.



شکل ۵- نمودار پراکندگی انرژی ویژه مصرفی (جذب شده توسط محصول) نسبت به تغییرات متغیرهای ورودی

پس از استخراج موقیت آمیز مدل های پیش‌بینی رفتار تغییرات متغیرهای وابسته نسبت به ارتفاع لایه، قطر سیلندر و تنش بیشینه، بھینه سازی فرایند استحصال آب آلبالو با معیارهای افزایش درصد آب میوه استخراج شده، کاهش انرژی ویژه مصرفی و افزایش نرخ آبگیری با افزایش حجم بارگیری در هر چرخه به کمک نرم افزار Design Expert صورت پذیرفت. با توجه به اینکه قیمت واحد انرژی در مقایسه با قیمت واحد جرم آب میوه استحصالی حدود ۵۰٪ است، ضریب وزنی درصد تولید آب میوه نسبت به انرژی ویژه دو برابر لحاظ گردید. به دلیل اهمیت کاهش زمان بارگیری میوه در هر چرخه، و تناسب حجم بارگیری با ارتفاع لایه، ضریب وزنی ۱ به ارتفاع لایه اختصاص داده شد. پس از اعمال ضرایب وزنی در رابطه ۲، بھینه سازی بر مبنای بھبود درجه مطلوبیت بیشینه شدن درصد آب میوه استخراجی، کمینه شدن انرژی ویژه و بیشینه شدن ارتفاع لایه (کمینه شدن دفعات بارگیری در طول ساعت کار ماشین) به ترتیب با ضرایب وزنی ۴، ۲ و ۱ صورت گرفت. در رابطه ۲، مقادیر کمینه و بیشینه ارتفاع لایه، درصد آب استحصالی و انرژی ویژه به ترتیب برابر با ۲۰ و ۶۰ میلی‌متر، $۱۸/۷۰$ و $۰۶/۳۷$ درصد و $۰۵/۸۳$ کیلوژول بر کیلوگرم به دست آمد از میانگین گیری سه تکرار هر یک از تیمارها مورد استفاده قرار گرفته‌اند. نتایج مربوط به ۵ نقطه بھینه با متغیرهای ورودی متمایز در جدول ۶ ارائه شده است.

جدول ۶- نتایج پیش‌بینی ۵ نقطه بھینه در فرایند استحصال آب آلبالو با متغیرهای ورودی متمایز

نقطه	شماره	ارتفاع لایه (mm)	قطر سیلندر (mm)	نیروی بیشینه (kg)	درصد آبدهی	جابجایی پیستون (mm)	چگالی واقعی تفاله (kg/m³)	چگالی توده تفاله (kg/m³)	تخلخل تفاله (%)	روطوبت تفاله (%)	انرژی ویژه (kJ/kg)	درجه مطلوبیت (%)
۱		۴۲	۵۵	۵۰۰	۷۵/۴۱	۱۰۵/۳۸	۱۲۹۸/۳۴	۱۲۰۲/۳۹	۷/۸۳	۶۸/۶۲	۲/۷۹	۸۲/۴۴
۲		۵۵	۵۵	۵۰۰	۶۷/۶۱	۱۳۲/۰۴	۱۲۱۲/۲۳	۱۱۵۲/۲۹	۵/۱۸	۷۵/۲۸	۲/۸۱	۸۰/۷۳

۷۵/۶۶	۳/۰۱	۷۱/۸۱	۶/۶۸	۱۱۷۴/۲۳	۱۲۵۳/۸۸	۹۱/۹	۷۲/۴۶	۴۱۳/۲۲	۵۰	۳۷/۵	۳
۷۳/۴۵	۳/۱۲	۷۹/۰۳	۳/۹۷	۱۱۲۲/۶۲	۱۱۶۷/۲۳	۱۲۷/۳۶	۶۲/۳۶	۴۱۳/۲۲	۵۰	۵۵	۴
۶۸/۴۲	۳/۳۶	۷۸/۵۷	۴/۲۶	۱۱۲۱/۵۰	۱۱۷۰/۱۲	۹۷/۹۱	۶۳/۹۶	۳۳۴/۷۱	۴۵	۴۲/۵	۵

به منظور صحت سنجی نتایج بهینه‌سازی انجام شده توسط نرم‌افزار، متغیرهای ورودی هر یک از نقاط پیشنهادی ارائه شده در جدول ۶ در دو تکرار مورد آزمون قرار گرفتند. در جدول ۷ میانگین نتایج بدست آمده برای هر یک از نقاط پیشنهادی ۵ گانه ارائه شده است. همان‌گونه که مشاهده می‌شود، در نقاط ۱، ۲ و ۴ میانگین درجه مطلوبیت محاسبه شده نسبت به درجه مطلوبیت مورد انتظار بالاتر بوده است. مقایسه جداول ۶ و ۷ نشان می‌دهد که در کلیه موارد اختلاف بین مقادیر پیش‌بینی نرم‌افزار و میانگین محاسبه شده از نتایج دو تکرار صحت سنجی کمتر از ۲/۳۰٪ است.

جدول ۷- میانگین نتایج صحت سنجی ۵ نقطه بهینه‌پیشنهادی توسط نرم‌افزار

ردیف	ردیف	ردیف	ردیف	ردیف	ردیف	ردیف	ردیف	ردیف	ردیف	ردیف	ردیف
درجه مطلوبیت (%)	انرژی ویژه (kJ/kg)	روطوبت (%)	تخلخل تفاله (%)	چگالی توده تفاله (%)	چگالی واقعی (kg/m³)	چابهاری پیستون (mm)	درصد آبدهی (%)	نیروی بیشینه (kg)	قطر سیلندر (mm)	ارتفاع لایه سیلندر (mm)	شماره نقطه
۸۳/۵۰	۲/۷۳	۶۸/۱۸	۷/۸۰	۱۳۱۰/۹۵	۱۲۱۲/۱۳	۱۰۴/۶۹	۷۶/۱۲	۵۰۰	۵۵	۴۲	۱
۸۱/۰۴	۲/۷۴	۷۴/۸۹	۵/۱۸	۱۲۱۲/۰۳	۱۱۶۰/۹۱	۱۳۲/۴۵	۶۷/۴۳	۵۰۰	۵۵	۵۵	۲
۷۵/۴۹	۲/۹۶	۷۱/۳۷	۶/۷۲	۱۲۶۵/۶۹	۱۱۷۳/۶۴	۹۲/۱	۷۱/۷۷	۴۱۳/۲۲	۵۰	۳۷/۵	۳
۷۴/۱۵	۳/۰۹	۷۸/۷۰	۳/۹۷	۱۱۷۶/۸۷	۱۱۲۸/۸۳	۱۲۶/۸۱	۶۲/۹۳	۴۱۳/۲۲	۵۰	۵۵	۴
۶۸/۲۴	۳/۳۳	۷۸/۴۰	۴/۲۵	۱۱۶۹/۲۹	۱۱۱۸/۱۷	۹۸/۱۳	۶۳/۴۹	۳۳۴/۷۱	۴۵	۴۲/۵	۵

نتیجه‌گیری

نه تنها آبمیوه به عنوان یک غذای سالم در حال حاضر توسط درصد زیادی از جمعیت جهان در حال مصرف بوده و آبمیوه‌ها جزء اساسی و مهم رژیم غذایی به شمار می‌روند، بلکه ای میوه‌گیری به عنوان یکی از روش‌های کار امد در زمینه کاهش ضایعات محصولات کشاورزی است. روش‌های و ماشینهای مختلفی برای استخراج اب انواع میوه‌ها مورد استفاده قرار گرفته اند که در این بین روش فیلتر پرس به عنوان یکی از روش‌های رایج و موثر شناخته می‌شود. در پژوهش حاضر، اثرات ارتفاع لایه محصول (در سه سطح ۴۰، ۴۰ و ۶۰ میلیمتر)، قطر سیلندر (در سه سطح ۴۵ و ۵۰ و ۵۵ میلیمتر) و بیشینه تنش فشاری وارد بر توده محصول (در سه سطح ۱۸۵۸/۰۹، ۱۶۵۱/۶۳ و ۲۰۶۴/۵۴ کیلو پاسکال) بر درصد آبمیوه استخراج شده از آبالو، چابهاری توده پیستون (چابهاری توده و چگالی توده و چگالی واقعی تفاله باقیمانده، رطوبت نسبی و تخلخل نهایی تفاله و مقدار انرژی ویژه مصرف شده مورد بررسی و بهینه سازی قرار گرفتند. نتایج بدست امده نشان داد که تغییر متغیرهای ورودی میتواند منجر به تغییرات درصد آبمیوه استخراج شده از آبالو در محدوده ۱۸/۷۰٪ تا ۸۶/۳۶٪، چابهاری بیشینه پیستون در محدوده ۳۵/۲ تا ۱۳۶/۹ میلیمتر، چگالی توده تفاله در محدوده ۱۰۵۴/۹۴ تا ۱۳۶۸/۰۵٪ کیلو گرم بر مترمکعب، چگالی واقعی تفاله در محدوده ۱۰۶۰/۶۳ تا ۱۶۵۴ کیلو گرم بر مترمکعب، تخلخل نهایی تفاله در محدوده ۰/۵۴٪ تا ۱۷/۲۶٪ و رطوبت نسبی تفاله در محدوده ۳۵٪ تا ۸۹/۴۲٪ می‌شوند. نتایج حاصل از بهینه سازی نشان داد که در کلیه موارد اختلاف بین مقادیر پیش‌بینی نرم‌افزار و میانگین محاسبه شده از نتایج دو تکرار صحت سنجی کمتر از ۲/۳۰٪ بوده و بیشینه درجه مطلوبیت قابل دستیابی برابر با ۸۳/۵۰٪ است.

تشکر و قدردانی

بدین وسیله نویسنده‌گان پژوهش حاضر کمال مراتب تشکر و قدردانی خود را از همکاری شرکت فروردین آزما تجهیز، مهندس رضا پارسایی، مهندس میثم امامیان و دکتر محمدحسن ترابی اعلام می‌دارند.

منابع

- Vahid-Berimanlou R, Nadi F. Investigating the Energy Consumption and Economic Indices for Sweet-Cherry and Sour-Cherry Production in Northeastern Iran. *J Agric Mach* 2021;11:97–110. [1]
- Boriss H, Brunke H, Specialist A, Kreith M. Commodity Profile: Cherries, Sweet and Tart. *Agric Mark Resour Cent (Ag MRC)* 2006. [2]
- Blando F, Gerardi C, Nicoletti I. Sour cherry (*Prunus cerasus L.*) anthocyanins as ingredients for functional foods. *J Biomed Biotechnol* 2004;2004:253. [3]
- Harborne JB, Grayer RJ. The anthocyanins. The flavonoids, Springer; 1988, p. 1–20. [4]
- Arts ICW, Jacobs DR, Gross M, Harnack LJ, Folsom AR. Dietary catechins and cancer incidence among postmenopausal women: the Iowa Women's Health Study (United States). *Cancer Causes Control* 2002;13:373–82. [5]
- Knekter P, Jarvinen R, Reunanen A, Maatela J. Flavonoid intake and coronary mortality in Finland: a cohort study. *Br Med J* 1996;312:478–81. [6]
- Ikeda I, Imasato Y, Sasaki E, Nakayama M, Nagao H, Takeo T, et al. Tea catechins decrease micellar solubility and intestinal absorption of cholesterol in rats. *Biochim Biophys Acta (BBA)-Lipids Lipid Metab* 1992;1127:141–6. [7]
- Hertog MGL, Feskens EJM, Kromhout D, Hollman PCH, Katan MB. Dietary antioxidant flavonoids and risk of coronary heart disease: the Zutphen Elderly Study. *Lancet* 1993;342:1007–11. [8]
- Zern TL, Wood RJ, Greene C, West KL, Liu Y, Aggarwal D, et al. Grape polyphenols exert a cardioprotective effect in pre-and postmenopausal women by lowering plasma lipids and reducing oxidative stress. *J Nutr* 2005;135:1911–7. [9]
- Xu J-W, Ikeda K, Yamori Y. Upregulation of endothelial nitric oxide synthase by cyanidin-3-glucoside, a typical anthocyanin pigment. *Hypertension* 2004;44:217–22. [10]
- Preuss HG, Wallerstedt D, Talpur N, Tutuncuoglu SO, Echard B, Myers A, et al. Effects of niacin-bound chromium and grape seed proanthocyanidin extract on the lipid profile of hypercholesterolemic subjects: a pilot study. *J Med* 2000;31:227–46. [11]
- Sautebin L, Rossi A, Serraino I, Dugo P, Di Paola R, Mondello L, et al. Effect of anthocyanins contained in a blackberry extract on the circulatory failure and multiple organ dysfunction caused by endotoxin in the rat. *Planta Med* 2004;70:745–52. [12]
- Golabi S, hassanpour-ezati M, Rohampour K. Effect of aqueous extracts of sun-dew (*Drosera spatulata*) on the firing rate of PGi nucleus neurons after formalin-induced pain in rats. *J Physiol Pharmacol* 2010;14:282–7. [13]
- Daliri S, Khorshidpour B, Pourahmad R. Investigation of the Possibility of Probiotic Juice Production Based on Mixture of Sour Cherry, Cranberry and Apple by *Lactobacillus acidophilus* and *Lactobacillus casei*. *J Food Technol Nutr* 2020;17:53–66. [14]
- Falade KO, Babalola SO, Akinyemi SOS, Ogunlade AA. Degradation of quality attributes of sweetened Julie and Ogbomoso mango juices during storage. *Eur Food Res Technol* 2004;218:456–9. [15]
- Mirzabe AH, Hajiahmad A, Asadollahzadeh AH. Extracting barberry juice: Mathematical models describing loading stage, stress-relaxation behavior, and momentary juice mass. *J Food Process Eng* 2021;44. [16]
- Bhalekar SD. Design and Fabrication of Pneumatic Operated Juice Extract Machine 2019. [17]
- Khazaei J, Massah J, Mansouri GH. Effect of some parameters of air-jet on pneumatic extraction of citrus juice and juice sacs. *J Food Eng* 2008;88:388–98. [18]
- Michael UO, Bamidele OB, Aromuegbe IP. Fabrication and testing of a manually operated citrus juice extracting machine. *Indian J Eng* 2018;15:111–6. [19]
- Odewole MM, Falua KJ, Adebisi SO, Abdullahi KO. Development and Performance Evaluation of a Manually- [20]

- Operated Multipurpose Fruit Juice Extractor. FUOYE J Eng Technol 2018;3. [21]
 OO Martins BO, OH Adeyemi OM. Design and Construction of a Motorized Citrus Juice Extractor 2018. [22]
 Dinesha DT, Ramachandra CT, Uday kumar Nidoni S. Performance evaluation of roller type aloe vera gel extraction machine. J Pharmacogn Phytochem 2019;8:1987–92. [23]
 Formato A, Ianniello D, Romano R, Pellegrino A, Villecco F. Design and development of a new press for grape marc. Machines 2019;7:51. [24]
 Wilczyński K, Kobus Z, Dziki D. Effect of Press Construction on Yield and Quality of Apple Juice. Sustainability 2019;11:3630. [25]
 De Pasquale C, Catania P, Vallone M. Influence of the Pressing System on Pomegranate Juice Physical-Chemical Properties. Chem Eng Trans 2017;58:433–8. [26]
 Rao MA, Cooley HJ. Role of cultivar and press aid in pressing characteristics and juice yields of crushed grapes. J Food Process Eng 1992;15:65–79. [27]
 Sreedevi P, Rao PS. Microbial destruction kinetics of high-pressure-processed sugarcane juice (*Saccharum officinarum*). J Food Process Eng 2018;41:e12850. [28]
 Pei L, Hou S, Wang L, Chen J. Effects of high hydrostatic pressure, dense phase carbon dioxide, and thermal processing on the quality of Hami melon juice. J Food Process Eng 2018;41:e12828. [29]
 Mushtaq M. Extraction of fruit juice: An overview. Fruit juices, Elsevier; 2018, p. 131–59. [30]
 Latif S, Romuli S, Barati Z, Müller J. CFD assisted investigation of mechanical juice extraction from cassava leaves and characterization of the products. Food Sci Nutr 2020;8:3089–98. [31]
 Moreira SA, Pintado ME, Saraiva JA. Effect of a winter savory leaf extract obtained using high hydrostatic pressure on the quality of carrot juice. J Sci Food Agric 2021;101:74–81. [32]
 Mirzabe AH, Hajiahmad A, Asadollahzadeh AH. Moisture-dependent engineering properties of arugula seed relevant in mechanical processing and bulk handling. J Food Process Eng 2021;e13704. [33]
 Kips L, De Paepe D, Van Meulebroek L, Van Poucke C, Larbat R, Bernaert N, et al. A novel spiral-filter press for tomato processing: process impact on phenolic compounds, carotenoids and ascorbic acid content. J Food Eng 2017;213:27–37. [34]
 Buvé C, Kebede BT, De Batselier C, Carrillo C, Pham HTT, Hendrickx M, et al. Kinetics of colour changes in pasteurised strawberry juice during storage. J Food Eng 2018;216:42–51.

Study and optimization of the effects of some factors affecting the sour cherry juice extraction process by the filter press method

Ali hajiahmad^{1*}, Amir Hosein Mirzabe²

1. Assistant Professor, Department of Mechanics of Biosystem Engineering, Faculty of Engineering & Technology, College of Agriculture & Natural Resources, University of Tehran, Karaj, Iran
2. Ph.D. candidate, Department of Mechanics of Biosystem Engineering, Faculty of Engineering & Technology, College of Agriculture & Natural Resources, University of Tehran, Karaj, Iran

***Corresponding author:** hajiahmad@ut.ac.ir

Abstract

Iran is the fifth-largest producer of sour cherries in the world, with a field area of 21,181 hectares and a production of 9.66% of the total world production. Consumption of fresh cherries is limited due to high perishability, and the production of sour cherry-based products is a critical way to reduce the waste of this product. The first step in producing sour cherry-based beverages is to extract sour cherry juice. Considering the importance of designing efficient juicers and the satisfactory performance of the filter press method in fruit juicing, this study aims to investigate and optimize the effects of layer height, cylinder diameter, and maximum compressive stress on the percentage of juice extracted from sour cherries, maximum piston displacement (deformation of fruits), bulk and true density of pomace, porosity and relative humidity of pomace, and the amount of specific energy consumed. The results showed that all three independent input variables were significant at the level of 1% probability on all dependent variables. Decreasing the layer height, increasing the cylinder diameter, and increasing the maximum stress lead to an increase in the percentage of extracted juice, among which increased the maximum stress is the most significant factor. The criteria of increasing the percentage of extracted fruit juice, decreasing the specific energy, and increasing the layer's height were applied as priorities in optimizing the juicing process, respectively. The optimization results showed that the selection of 42 mm height of the layers, 55 mm diameter of the cylinder, and the application of 500 kg force resulted in the extraction of 76.12% of the juice with a degree of desirability of 83.50%.

Keywords: Cylinder diameter, Compressive stress, Juice, Density, Porosity, Pomace, Optimization.